

سنتز نانوساختارهای کاربید بور با استفاده از آلیاژسازی مکانیکی و ارزیابی خواص آن

صاحب‌الی منافی* و احسان حسنی

دانشگاه آزاد اسلامی، واحد شاهروود، گروه مهندسی مواد، شاهروود، ایران

تاریخ ثبت اولیه: ۱۳۹۰/۰۹/۱۲، تاریخ دریافت نسخه اصلاح شده: ۱۳۹۰/۱۱/۲۵، تاریخ پذیرش قطعی: ۱۳۹۰/۱۲/۰۵

چکیده

در این پژوهش، نانوساختارهای کاربید بور با استفاده از روش آلیاژسازی مکانیکی تهیه شد. نانوساختارها با استفاده از نمک‌های هالوژنی، اکسید بور و عامل کاتالیستی کبالت تهیه شدند. ساختار و توزیع اندازه ذرات و مورفو‌لوژی سطح این نانوذرات با استفاده از طیف پراش پرتو ایکس (XRD) و میکروسکوپ الکترونی روبشی (SEM) مورد مطالعه قرار گرفت. الگوی SEM به وضوح تشکیل فاز کاربید بور و عدم وجود هرگونه فاز دیگری به غیر از کاربید بور را مورد تایید قرار داد. تصاویر SEM توزیع منظمی از اندازه ذرات تشکیل شده را به صورت لانه پرنده‌گان نمایش داد. میانگین اندازه این ذرات ۲۵ نانومتر گزارش شد.

واژه‌های کلیدی: نانوساختار، فعال‌سازی مکانیکی، کاربید بور، آلیاژسازی مکانیکی.

است [۱۵]. به دلیل سختی بالا (3100 kg/mm^2)، دانسیته پایین و سطح مقطع جذب نوترون بالا، کاربید بور کاربردهای زیادی در صنایع مختلف دارد [۷،۸]. کاربید بور دارای پیوند کوالانسی می‌باشد لذا استحکام بالای دارد، از طرف دیگر دارای کمترین مقدار دانسیته در میان مواد فوق سخت می‌باشد از این‌رو به عنوان سرامیکی کاربیدی با نسبت استحکام به وزن بالا استفاده می‌شود [۹]. از طرف دیگر این سرامیک استحکامش تا 1500°C کاهش پیدا نمی‌کند بنابراین در صنایع با تکنولوژی بالا و کاربردهای حساس قابل استفاده می‌باشد. از صفحات زرهی سبک وزن کاربید بور برای حفاظت بالگردها و

۱- مقدمه

کاربید بور (B_4C) متعلق به گروه مواد سخت غیرفلزی می‌باشد و پس از الماس و نیترید بور مکعبی سخت‌ترین ماده است [۱،۲]. در بین کاربیدهای نسوز، بعد از تنگستن، تیتانیوم و سیلیکون، کاربید بور از اهمیت ویژه‌ای برخوردار بوده و به عنوان یک ماده استراتژیک بکار برده می‌شود [۳]. کاربید بور پودر کریستالی تیره مایل به سیاه است که دارای ساختار رمبوه‌درال می‌باشد [۴]. کاربید بور دارای نقطه ذوب 2447°C بوده و مذاب حاصله در بالاتر از 3500°C می‌جوشد. دانسیته این ماده $2/52 \text{ gr/cm}^3$

* عهده‌دار مکاتبات: صاحب‌الی منافی

نشانی: شاهروود، دانشگاه آزاد اسلامی، واحد شاهروود، گروه مهندسی مواد

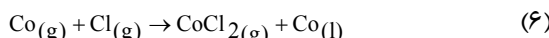
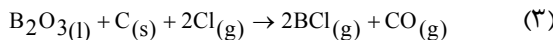
تلفن: ۰۲۷۳-۳۳۹۴۲۸۳، دورنگار: ۰۲۷۳-۳۳۹۴۲۸۳، پست الکترونیکی: ali_manafi2005@yahoo.com

نانووایر کاربید بور و سایر کاربردهای دیگر این نانومواد که تا حدودی اشاره شد فراهم شود.

۲- فعالیت‌های تجربی

در ابتدا تمامی مواد اولیه خام یعنی پودر کربن سیاه (C) حاوی ۲۱ درصد مواد فرار، اکسید بور (B_2O_3) که به صورت پودر درشت می‌باشد، کاتالیست فلزی کبالت (Co) و نمک هالوژنی مورد استفاده که کلرید سدیم ($NaCl$) می‌باشد به صورت خشک به مدت ۵ تا ۱۰ دقیقه بسته به نوع مخلوط کننده مورد استفاده، در یک میکسر برای رسیدن به یک پودر با حالت پfkی مخلوط می‌شوند [۱۹]. مخلوط پودری همگنسازی شده توسط آسیاب سیارهای که حاوی مواد اولیه است در یک بوته گرافیتی استوانه‌ای با درپوش سوراخ‌دار ریخته می‌شود، دلیل انتخاب بوته گرافیتی سوراخ‌دار وجود روزنه‌ای جهت سهولت تبادلات گازی است. محیط کوره دارای اهمیت فراوانی است با توجه به اینکه B_4C اکسیدی نیست سنتز آن در کوره‌های اتمسفری صورت می‌گیرد. معمولاً فرآیند سنتز در کوره‌های گرافیتی تحت اتمسفر نیتروژن و یا آرگون صورت می‌گیرد. مخلوط واکنش باید ظرف مدت زمان ۶۰ دقیقه به دمای مورد نیاز جهت سنتز رسانده شود. پس از رسیدن به دمای سنتز، مخلوط مورد نظر به مدت ۳ الی ۴ ساعت در کوره نگهداری می‌شود. به منظور جلوگیری از اکسیداسیون المنت‌های کوره‌های گرافیتی حتماً باید تحت اتمسفر محافظت مورد استفاده قرار گیرند. سپس مخلوط واکنش داده را از کوره خارج کرده و در دمای محیط قرار می‌گیرد تا سرد شود. پس از سرد شدن مخلوط که دیگر کاملاً متفاوت از مخلوط اولیه است مشاهده می‌شود که علاوه بر پودر و نانووایرها، بعضی از محصولات حاوی ذراتی از جنس همان نانووایرها و نیز پودر کربن واکنش نکرده می‌باشد. کربن باقیمانده در محصولات سنتز ممکن است اثرات مخربی روی خواص مکانیکی کامپوزیت داشته باشد، یکی از این اثرات افزایش شکنندگی محصول بدست آمده است اما این کربن قابل حذف کردن است ولی در مورد ذرات از جنس همان نانووایرها چون از لحاظ جنس، دانسیته و حتی از لحاظ

ساخت جلیقه‌های ضد گلوله استفاده می‌شود [۱۰]. کاربید بور به عنوان یکی از مواد استراتژیک دارای خواص بسیار جالبی از جمله استحکام و سختی بسیار بالا، مقاومت شیمیایی، خواص جذب نوترون و خواص ترمومالکتریکی دما بالا می‌باشد [۱۱]. این خواص باعث کاربردهای گسترشده این ماده در زمینه‌های نظامی، هسته‌ای، دیرگذازها و نیز مواد ساینده شده است. همچنین خواص الکترونیکی و الکتریکی کاربید بور در مقایسه نانومتری به شکل نانووایر و نانوفنر باعث گسترش کاربرد آن در مقولات نانوالکترونیک و نانومکانیک و ساخت حسگرها شده است [۱۲]. با کاهش اندازه ذره، سختی، تافنس و خواص مکانیکی مواد افزایش می‌یابد، بنابراین با تهیه ماده نانوسایز کاربید بور به ویژه نانووایرهای این ماده به عنوان یک فاز تقویت‌کننده بسیاری از خواص این ماده افزایش می‌یابد و می‌توان قطعات کامپوزیتی بهتری با خواص مکانیکی بالاتر تهیه کرد [۱۳، ۱۴]. یکی از مکانیزم‌های موفق و نسبتاً ارزان و قابل توسعه صنعتی، سنتز نانووایرهای کاربیدی به ویژه نانووایرهای کاربید بور (VLS Vapor Liquid Solid) توام با واکنش‌های کربوترمال می‌باشد [۱۵]. با توجه به تحقیقاتی که تاکنون صورت گرفته است به نظر می‌رسد دما، اتمسفر سنتز، مدت زمان، نوع ترکیب کردن پودرها، نوع و سایز مواد اولیه بویژه کاتالیست و پروسه تصفیه‌سازی محصولات سنتز مهمترین فاکتورها در ساخت این مواد می‌باشند که در این پروژه مورد بررسی قرار می‌گیرند [۱۶، ۱۷]. البته شایان ذکر است که سنتز نانووایرهای کاربید بور به دلیل شرایط بسیار حساس کنترل پروسه سنتز و همچنین ماهیت کاربیدی ماده مورد سنتز در مقایسه با سنتز نانوپودرهای اکسیدی و حتی سایر نانووایرهای اکسیدی در نوع خود از جمله سنتزهای بسیار دشوار محسوب می‌شود [۱۸]. با توجه به کمبود کارهای تحقیقاتی صورت گرفته در این زمینه و نیز شرایط دشوار کنترل پروسه جهت سنتز این نانومواد و نیاز بخش‌های مختلف و به ویژه دفاعی کشور به این نانومواد استراتژیک، امید است بتوان به پروسه‌ای موفق و با بازدهی بالا جهت سنتز نیمه صنعتی نانووایرهای کاربید بور دست یافت و زمینه لازم برای تولید نانوکامپوزیت‌های مبتنی بر تقویت کننده



گاز ایجاد شده از NaCl باعث ایجاد ترکیبات واکنشی گازی شکل می‌شود. نمادهای (Co-C) و (Co-C-B) نماینده کربن و بور حل شده در کاتالیست مذاب است. Co بوسیله گاز کلر تشکیل $\text{CoCl}_2(\text{g})$ می‌دهد و مدام در حال تبدیل و بازیافت است، پس از اینکه Co مجدداً بازیافت شد با کربن وارد واکنش می‌شود. بور و کلر تشکیل $\text{BCl}(\text{g})$ می‌دهند و در نهایت یک آلیاژ Co-C-B تشکیل می‌شود که رشد نانووایر از این آلیاژ صورت می‌گیرد.



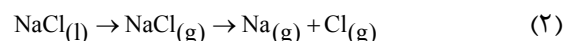
شکل ۱: دیاگرام تهیه نانوساختارهای کاربید بور به روش آلیاژسازی مکانیکی.

سایز، در دو بعد کاملاً مشابه نانووایرها هستند جداسازی عملابسیار دشوار است. برای حذف کربن اضافی ابتدا محصول بهم زده می‌شود تا اینکه ذرات گلوخه شده از هم جدا شوند. سپس آب و اتر نفتی به آن افزوده می‌شود و بهم زده می‌شود به دلیل خاصیت آبگریزی کربن، پودر کربن از آب خارج می‌شود و وارد فاز اتر می‌شود ولی نانووایرها غالباً در آب باقی می‌مانند. حال با کمی حرارتدهی به آب و مخلوط با توجه به اینکه دمای جوش و بالطبع دمای تبخیر آب خیلی کمتر از کاربید بور است آنچه باقی می‌ماند ذرات و نانووایرهای کاربید بور است [۲۰]. در نانوذرات و نانووایرهای بدست آمده مقدار ناچیزی فلز کاتالیست باقیمانده است که معمولاً در نوک نانووایرها و یا سطح آنها وجود دارد که برای حذف این میزان کاتالیست اضافی نیاز به اسیدشویی احساس می‌شود. اسیدشویی ذکر شده با ۱٪ HCl و در مدت زمان کوتاهی حدود ۱۰ دقیقه صورت می‌پذیرد. حال ترکیب باقیمانده به طور کامل و خالص نانوساختارهای کاربید بور از جمله نانوذره و نانووایر است که با تست XRD این مسئله اثبات شده است. شکل ۱ ترتیب مراحل تهیه پودر را به صورت فلوچارت نشان می‌دهد.

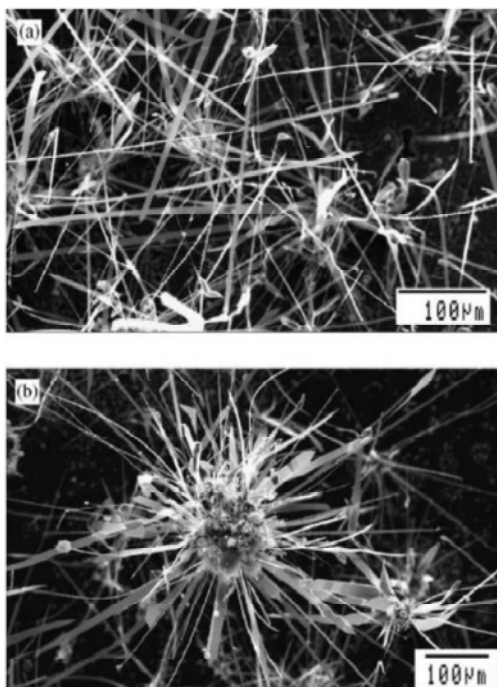
نمونه‌های سنتز شده توسط آنالیز پراش پرتو ایکس (Philips, X'pert-MPD) با طول موج $1/54 \text{ nm}$ آنگستروم بررسی شد. جهت تعیین مورفولوژی سطح از آنالیز میکروسکوپ الکترونی روبشی (SEM) استفاده شد. میانگین اندازه دانه پودر، بر اساس الگوی پراش اشعه X بوسیله فرمول شر طبق معادله ۱ تخمین زده می‌شود [۲۱]

$$D = \frac{0.89 \lambda}{\beta \cos \theta} \quad (1)$$

که D اندازه کریستالیت‌ها بر حسب nm ، λ طول موج اشعه ایکس بر حسب nm ، β پهنای بلندترین پیک در نصف ارتفاع بر حسب رادیان و θ زاویه تفرق بلندترین پیک بر حسب درجه می‌باشد. مکانیسم واکنش به صورت زیر می‌باشد [۲۲].



شکل لانه پرندگان دیده می‌شود. جداسازی ویسکرهایی که به شکل ساختارهای لانه پرندگان تجمع کرده‌اند به این صورت انجام می‌شود که ابتدا کربن اضافی به وسیله یک الک در حالت خشک جدا می‌شود در ادامه محصول واکنش در آب ریخته می‌شود و پس از افرودن سورفکتانت توسط همزن اولتراسوند همزده می‌شود. در مرحله آخر محلول حاوی دانه‌های ریز کربن معلق با عبور از میان یک سری شبکه‌های بسیار ریز نایلونی فیلتر می‌شود. محصولات فرآیند سنتز مورد اشاره دارای چندین مورفولوژی ویسکری هستند، که از نانووایرها گرفته تا اشکال سوزنی شکل و بشقابکهای نانومتری متغیر است و همانطور که قبلاً هم اشاره شد اکثر ویسکرها به طور موضعی در مخلوط واکنش تجمع‌هایی شبیه آشیانه پرندگان تشکیل می‌دهند (شکل ۳). شکل ۳a نشان دهنده آنالیز SEM انواع مختلف مورفولوژی‌های کریستال‌های کاربید بور است که بر روی یک سطح گرافیتی در بالای مخلوط واکنش و در دمای 1700°C درجه ایجاد شده است و در شکل ۳b که نمونه‌ای از رشد به صورت آشیانه پرندگان را نشان می‌دهد ذرات کاتالیست در نوک بسیاری از ویسکرها قابل تشخیص است.

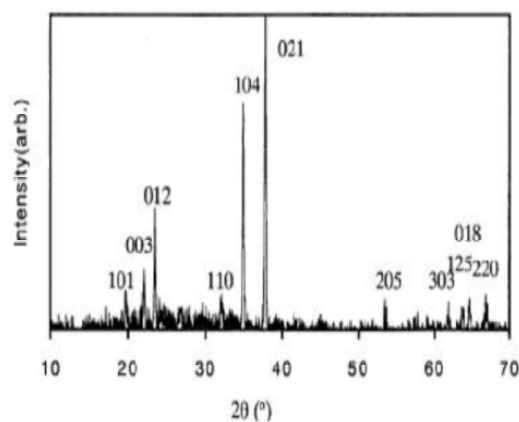


شکل ۳: آنالیز SEM کاربید بور.

۳- نتایج و بحث

۱-۳- بررسی تغییرات فازی

جهت آنالیز فازی و تعیین اندازه کریستالیت‌ها از پودر نانو سنتز شده، طیف XRD گرفته شد (شکل ۲). پیک‌های حاصل با پیک‌های استاندارد کاربید بور مطابقت مناسب دارد. سه پیک اصلی برای B_4C پیک‌های (۱۰۴)، (۱۰۲) و (۰۱۲) است که در تصاویر بدست آمده از آنالیز XRD (۰۲۱) نمونه سنتز شده به خوبی این پیک‌ها قابل تشخیص است، همانگونه که در الگوهای استاندارد برای B_4C آمده است. پیک‌های اشاره شده نشان‌دهنده تطابق کامل با الگوی استاندارد و در نتیجه خلوص بالای نانوذرات سنتز شده می‌باشد. با قرار دادن بلندترین پیک یعنی (۰۲۱) بر حسب رادیان و زاویه $2\theta = 38^{\circ}$ درجه در معادله ۱ اندازه ذرات با استفاده از این معادله، 25 nm بدست می‌آید. با توجه به اندازه ذرات بدست آمده در این سنتز، از این نانوذرات با این ابعاد می‌توان در صنایع با تکنولوژی بالا و کاربردهای حساس خصوصاً صنایع نظامی و جذب نوترون در تاسیسات هسته‌ای استفاده کرد [۲۳].



شکل ۲: الگو پراش اشعه ایکس نانوساختارهای کاربید بور.

۲-۳- بررسی ریزساختاری با SEM

یکی از مورفولوژی‌هایی که در میان محصولات ویسکری با نسبت ابعادی بالا دیده می‌شود مورفولوژی نانووایری است که با تصاویر SEM کاملاً قابل آنالیز می‌باشد. تقریباً بیش از ۳۰٪ وزنی محصول ایجاد شده از فرآیند مورد اشاره به صورت تجمع‌های موضعی ویسکرها در ساختارهایی به

۴- نتیجه‌گیری

در این کار تحقیقاتی پس از سنتر نانوساختارهای کاربید بور به یکی از روش‌های مکانیکی-شیمیابی با مکانیزم VLS توام با واکنش‌های کربوترمال با انجام تست XRD مشاهده شد که نانوذرات و نانووایرهای B_4C تولید شد، سپس با انجام آنالیز SEM مورفولوژی‌های متفاوتی برای این ماده سنتر شده بدست آمد.

مورفولوژی‌های مختلفی از نانوساختارهای B_4C به وسیله مکانیزم انتخاب شده و مدنظر VLS و در محدوده دمایی $1300\text{ }^{\circ}\text{C}$ تا $1800\text{ }^{\circ}\text{C}$ ایجاد شده است. بهترین نتایج برای سنتر با ترکیب $\text{B}_2\text{O}_3:\text{C}:\text{NaCl}:\text{Co}$ در اتمسفر آرگون و دمای $1700\text{ }^{\circ}\text{C}$ بدست آمده است و محصولات بدست آمده حاوی ذرات از جمله نانووایرهایی با ضخامت‌های نازک، نسبت ابعادی بالا و نانوذرات می‌باشد.

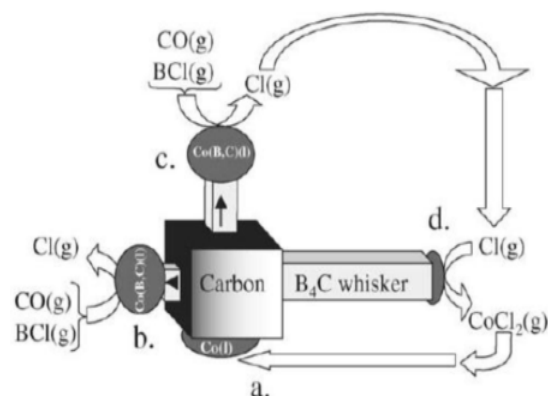
بیشتر نانووایرهایی که از این شیوه سنتر بدست آمده‌اند به صورت تجمعی موضعی به شکل آشیانه پرندگان بوده است. مدلی که برای رشد نانووایرها در این روش پیشنهاد شده است به این صورت می‌باشد که نطفه اولیه نانووایر از یک قطره کاتالیست مذاب بر روی سطح یک ذره کربن رسوب می‌کند، سپس رشد ادامه یافته و نوک نانووایر ایجاد شده در حالیکه قطره کاتالیست به همراه آن حمل می‌شود از سطح ذره کربن فاصله می‌گیرد. فرآیند رشد به وسیله فوق اشباع شدن محیط اطراف قطره کاتالیست با $\text{BCl}_{(g)}$ و رسوب کربن از گاز CO افزایش می‌یابد. روش انتخاب شده دارای مزایای فراوانی نسبت به دیگر روش‌ها است که از این مزایا می‌توان به احیای مجدد کاتالیست واکنش در حین سنتر، بازده بالای این روش نسبت به سایر روش‌های موجود، زمان سنتر نسبتاً کوتاه، صرفه اقتصادی مواد استفاده شده، دمای پایین‌تر نسبت به سایر روش‌ها، خلوص بالای نانوذرات سنتر شده در این روش و شاید مهم‌تر از همه این مزیت‌ها بتوان به تولید نانووایر علاوه بر نانوذرات اشاره کرد.

مراجع

- [1] A. Lipp, *Technological Review*, **14**, 1995, 23.
- [2] G. Savage, *Metals and materials*, **59**, 1990, 205.
- [3] M. Bouchacourt, F. Thevenot, *Journal of Materials*, **20**, 1985, 237.
- [4] K. Hong, F. Yang, K. Liu, *J. Appl. Phys.*, **8**, 2003, 6184.

انواع مختلف دیگری مورفولوژی در آنالیز مواد سنتر شده وجود دارد که تشریح برخی از این مورفولوژی‌ها در قالب مکانیزم VLS دشوار است. ممکن است بشتابک‌های کشیده نانومتری با مکانیزم موردنظر VS تشکیل شوند ولی بقایای قطرات کاتالیست که معمولاً در برسی‌های SEM در نوک نانووایرها مشاهده می‌شود، نشانه رشد VLS است. بر اساس بررسی‌های صورت گرفته روی نانووایرهای ایجاد شده بر سطوح بوته‌های گرافیتی که دارای قطره کاتالیستی در سر نانووایر بوده‌اند مکانیزم رشد این نانووایرها مطابق شکل ۴ پیشنهاد شده است این مکانیزم تا حد زیادی مشابه مکانیزم رشد ویسکرهای سیلیکون از یک قطره طلا بر روی زبر لایه سیلیکونی است.

شکل ۴ مکانیزم پیشنهادی برای تشکیل ویسکرهای کاربید بور را نشان می‌دهد. همانطور که در مرحله a شکل ۴ مشاهده می‌شود کاتالیست فلزی بر روی سطح کربن متراکم می‌شود و به عنوان یک جاذب برای اجزای گازی رفتار می‌کند. مثلاً $\text{BCl}_{(g)}$ و نیز یک سطح برای تجزیه $\text{CO}_{(g)}$ عمل می‌کند و آلیاژی به صورت $\text{CO}-\text{B}-\text{C}$ تشکیل می‌دهد. قسمت b و c در شکل ۴ زمانی را نشان می‌دهد که حد خاصی از ذره کربن رشد می‌کند و قسمت d نشان دهنده رشد ویسکر در زمانی است که غلظت اجزای گازی تشکیل دهنده ویسکر در اطراف قطره کاتالیست از یک حد بحرانی کمتر می‌شود، که در این حالت و بعد از این زمان قطره کاتالیست شروع به خورده شدن توسط گاز کلر می‌کند [۲۴].



شکل ۴: مکانیزم پیشنهادی برای تشکیل ویسکرهای کاربید بور [۲۴].

- [14] K. Xia, T.G. Langdon, *J. Mat. Sci.*, **12**, 2004, 5227.
- [15] A. Sawaguchi, K. Toda, *J. Amer. Ceram.*, **74**, 1991, 1142.
- [16] R. Katal, E. Hasani, *Journal of Chemical & Engineering Data*, **57**, 2012, 374.
- [17] J.M. Bonard, J.P. Salvetat, *Apple.Phys.Lett.*, **73**, 2007, 918.
- [18] Y. Chen, J. Pan, X. Huang, *J. Crystal Growth*, **98**, 2008, 1711.
- [19] M. Johnsson, M. Nygren, *J. Materials Research*, **12**, 2004, 2419.
- [20] J. Moore, H.J. Feng, *Progress in Mat. Eng.*, **39**, 1996, 243.
- [21] A. Sawaguchi, K. Toda, *J. Amer. Ceram.*, **91**, 2001, 1551.
- [22] A.K. Kundsen, G.L. Messing, *American Ceramic Society*, **26**, 1997, 263.
- [23] C.H. Jung, M.G. Lee, *J. Mater. Letter*, **58**, 2004, 609.
- [24] L. Takaces, *Prog. Mater. Sci.*, **47**, 2002, 355.
- [5] Y. Wang, L. Zhang, C. Liang, *Chemical Physics Letters*, **357**, 2002, 314.
- [6] S. Lee, N. Wang, *Materials Science and Engineering*, **286**, 2000, 16.
- [7] F. Thevenot, *J. Euro. Ceramic*, **6**, 1990, 205.
- [8] R.V. Krishnarao, *J. Euro. Ceramic*, **18**, 1998, 1470.
- [9] K.A. Schwetz, W. Grellner, *Journal of the Less Common Metals*, **82**, 1981, 37.
- [10] J. Engliu, P. Durrel, *J. Am. Ceram.*, **74**, 1991, 674.
- [11] T. Raja Pilladi, G. Panneerselvam, S. Anthonysamy, V. Ganeshan, *Ceramics International*, **38**, 2012, 3723.
- [12] D.W. Richardson, *The American Ceramic Society*, **17**, 2000, 590.
- [13] B.S. Lee, S. Kang, *Materials Chemistry and Physics*, **67**, 2001, 249.